IIITransferts (chaleur et/ou concentration)
au sein du M.P.

III- 1 Mise en équation



Flux ???

Sources

$$\dot{\bar{\Psi}}(t) = \int_{\mathcal{V}(t)} \dot{\bar{\psi}}(M, t) \, dV(M)$$

Densités flux

Macroscopique $I(\psi) = \psi v$

$$I(\psi) = \psi v$$

Microscopique

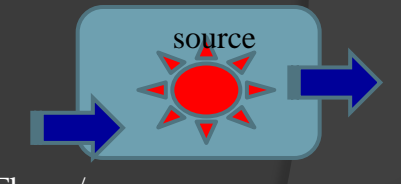
$$\phi_{\text{conv}}(\psi) = \int_{\partial \mathcal{V}(t)} -\psi(v - w) \cdot n \, dA$$

$$\phi_{\text{diff}}(\psi) = -\int_{\partial \mathcal{V}(t)} J(\psi) \cdot n \, dA$$

2. Transferts aux interfaces

3. Conservation d'une grandeurs

- 4. Solide hétérogène
- 5. Milieux Poreux/sol-Matériaux
- 6. Modèle et propriétés équivalente
- 7. Exemple d'applications
- 8. Conclusions/ Critiques



Flux µ/macro

Equation de conservation

$$\frac{\mathrm{d}_{v}\psi}{\mathrm{d}t} + \psi \operatorname{div} \boldsymbol{v} = \frac{\partial \psi}{\partial t} + \operatorname{div}(\psi \boldsymbol{v}) = \psi - \operatorname{div} \boldsymbol{J}(\psi)$$



Flux ???

Microscopique

$$\phi_{\text{diff}}(\psi) = -\int_{\partial \mathcal{V}(t)} J(\psi) \cdot n \, dA$$

- 2. Transferts aux interfaces
- 3. Conservation d'une grandeurs
- 4. Solide hétérogène
- 5. Milieux Poreux/sol-Matériaux
- 6. Modèle et propriétés équivalente
- 7. Exemple d'applications
- 8. Conclusions/ Critiques

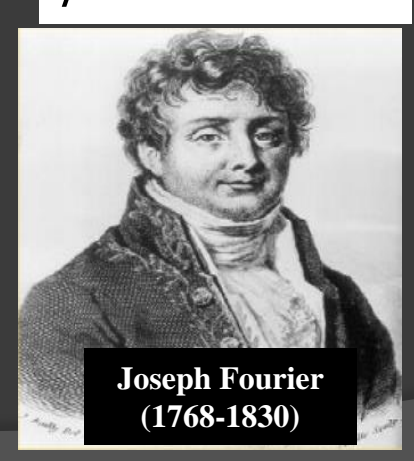
$$\vec{ au} = \mu \vec{\nabla} V$$

Fluide

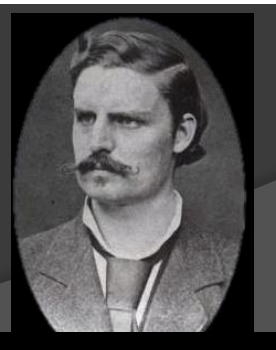


IsaacNewton-1689

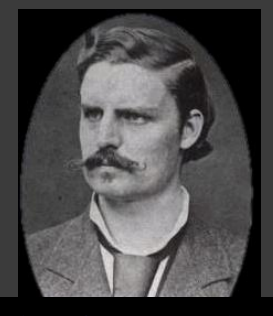
$$\vec{\varphi} = -\lambda \vec{\nabla} T$$



$$\vec{j} = -D\vec{\nabla}C$$



Adolf Eugene Fick (1829-1901)

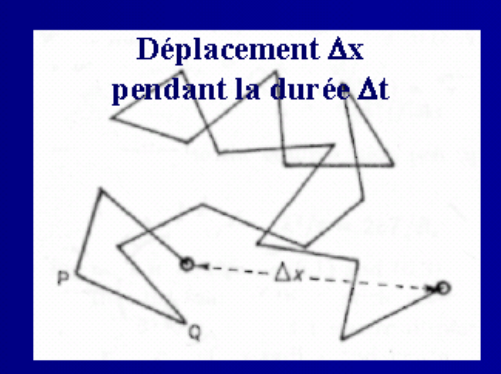


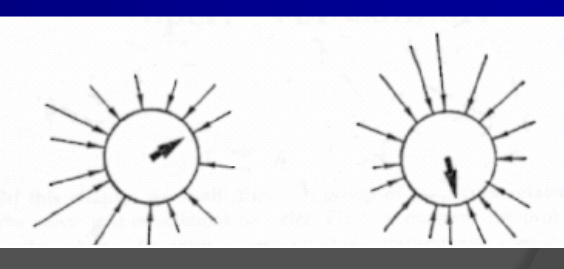
Adolf Eugene Fick (1829-1901)

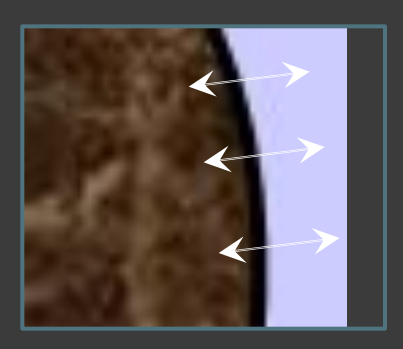
S'inspira des travaux de Brown (ci-dessous) et de Fourier

Les premières observations microscopiques du mouvement rapide et aléatoire de petites particules ont été faites par Robert Brown, un botaniste anglais, qui examinait les grains de pollen.









Conservation de la masse

$$\frac{\partial \rho}{\partial t} + \operatorname{div}(\rho \boldsymbol{v}) = \frac{\mathrm{d}\rho}{\mathrm{d}t} + \rho \operatorname{div} \boldsymbol{v} = 0$$

Conservation de la qtt de Mvt.

$$\rho \frac{\mathrm{d} \boldsymbol{v}}{\mathrm{d} t} = \rho \boldsymbol{f} + \mathrm{div} \, \boldsymbol{\sigma}$$

$$ho rac{\mathrm{d} oldsymbol{v}}{\mathrm{d} t} =
ho oldsymbol{f} - oldsymbol{
abla} p + \mathrm{div} \, oldsymbol{\mathsf{T}}$$

Conservation de l'énergie

$$\rho \frac{\mathrm{d}u}{\mathrm{d}t} = \mathrm{div}(k \, \nabla T) - p \, \mathrm{div} \, \boldsymbol{v} + \nabla \boldsymbol{v} : \mathbf{T}$$

: densité de flux de chaleur; $\triangleright -k \nabla T$

 $\triangleright -p \operatorname{div} v$: puissance des forces de pression;

: dissipation visqueuse (puissance des forces de frottement) $\triangleright \nabla v : \mathsf{T}$

Système

- Frontière
- Interfaces solide-Fluide
- Fluide Multiconstituants (gazeux ou liquides ions impuretés
- Solide hétérogène
- Milieux Poreux/sol-Matériaux : Interaction Matière fluide-solide
- Echanges / Réactions

$\rho \frac{\mathrm{d} \boldsymbol{v}}{\mathrm{d} t} = \rho \boldsymbol{f} + \mathrm{div} \, \boldsymbol{\sigma}$ $\rho \frac{\mathrm{d} \boldsymbol{v}}{\mathrm{d} t} = \rho \boldsymbol{f} - \boldsymbol{\nabla} p + \mathrm{div} \, \boldsymbol{\mathsf{T}}$ $\rho \frac{\mathrm{d} \boldsymbol{v}}{\mathrm{d} t} = \rho \boldsymbol{f} - \boldsymbol{\nabla} p + \mathrm{div} \, \boldsymbol{\mathsf{T}}$

Eqt de la chaleur!!!!

$$\rho c_v \frac{\mathrm{d}T}{\mathrm{d}t} = k\Delta T + 2\mu \mathbf{D} : \mathbf{D}$$

Discussions de cas

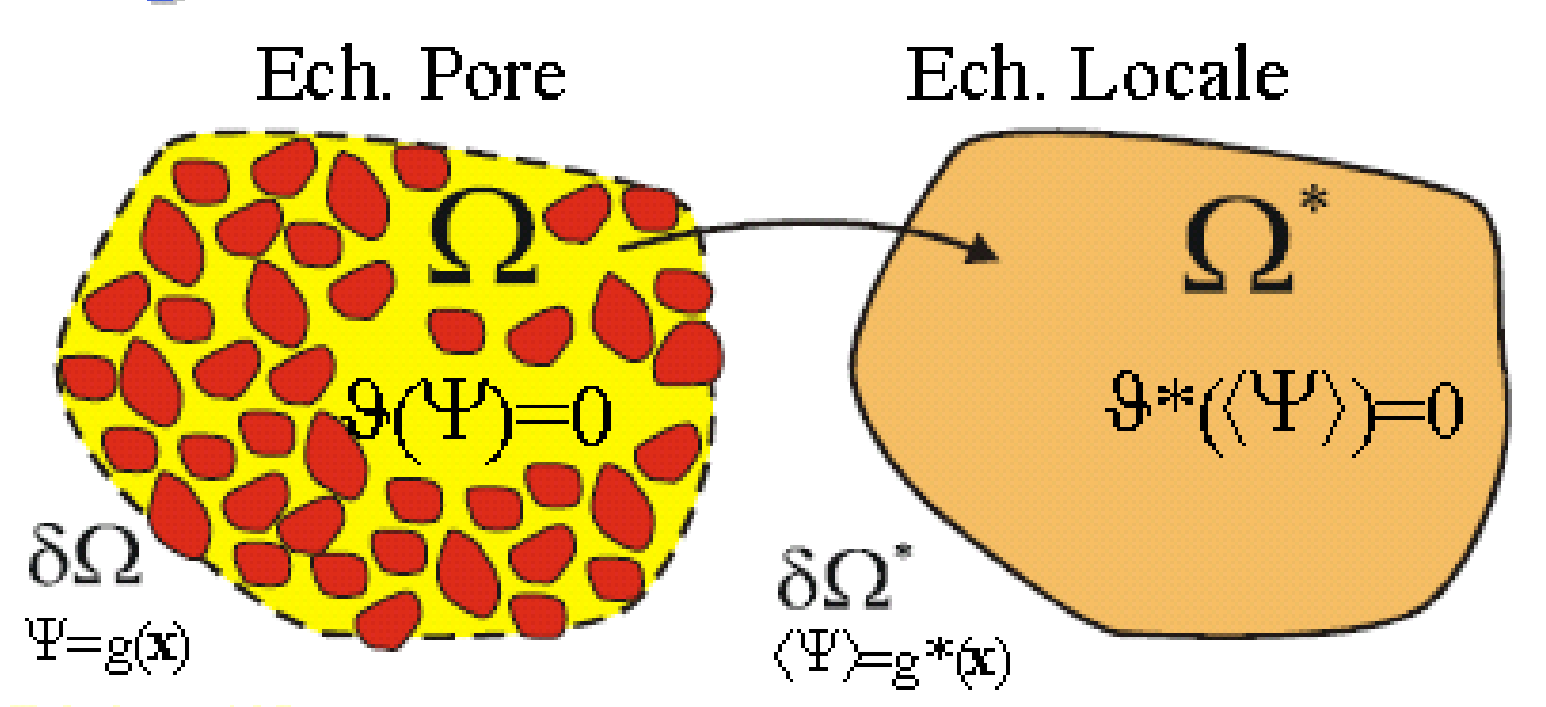
- 1. Définition d'un Système
- 2. Transferts aux interfaces
- 3. Conservation d'une grandeurs
- 4. Solide hétérogène
- 5. Milieux Poreux/sol-Matériaux
- 6. Modèle et propriétés équivalente
- 7. Exemple d'applications
- 8. Conclusions/ Critiques

Homogène Hétérogène

Localement Globalement

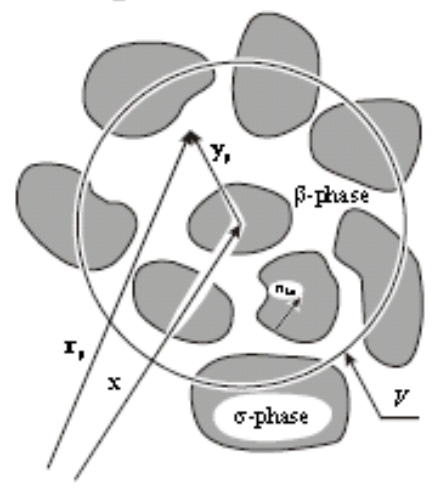
III-2 Prise de moyenne

Changement d'Echelle



Objectif: obtenir les équations macroscopiques, les propriétés effectives, et les conditions aux limites

Grandeurs Moyennes



$$\left\langle \psi_{\beta} \right\rangle_{\mathbf{x}} = \frac{1}{V} \int_{V} \psi_{\beta}(\mathbf{x} + \mathbf{y}) dV$$

Indicatrice de phase et Fraction volumique

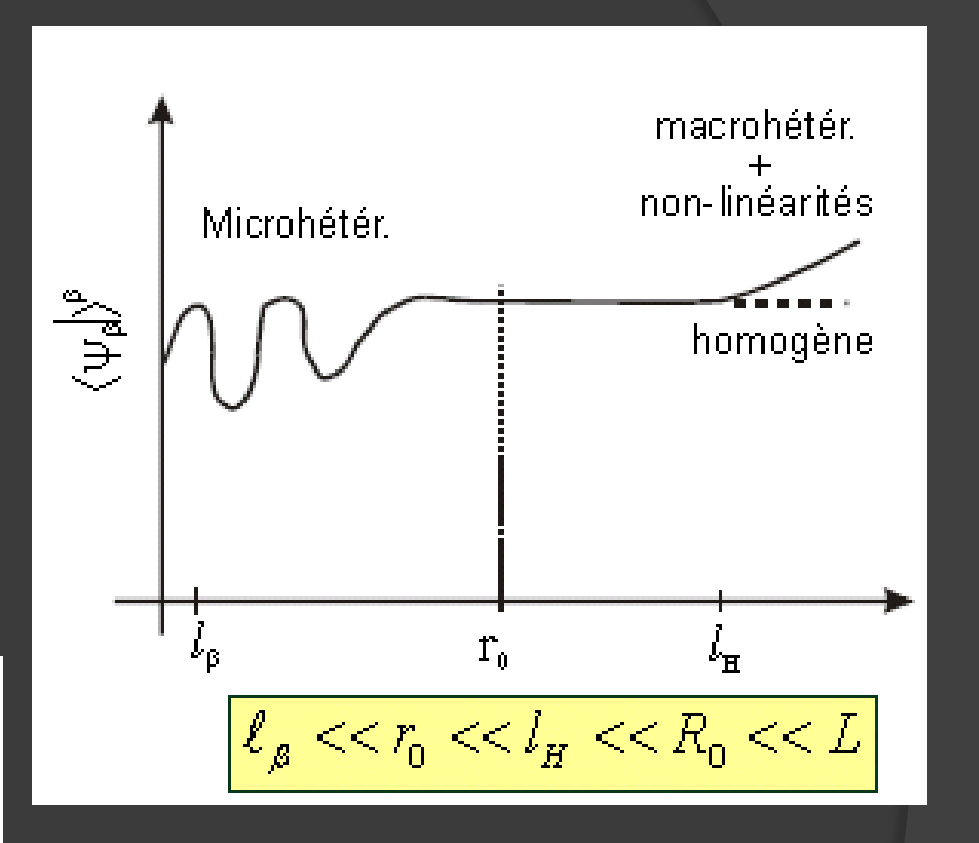
Indicatrice de phase

$$\gamma_{\beta} = \begin{cases} 1 & M \in V_{\beta} \\ 0 & M \notin V_{\beta} \end{cases}$$

Fraction volumique

$$\varepsilon_{\beta} = \langle \gamma_{\beta} \rangle$$

$$\varepsilon_B + \varepsilon_{\sigma} = 1$$
 Si 2 phases



$$\gamma_{\beta} = 1$$
 dans les pores

$$\gamma_{\beta} = 0$$
 dans la phase solide

$$\epsilon = \langle \gamma_{\beta} \rangle = \frac{1}{V} \int_{V} \gamma_{\beta} dV$$

$$\left\{ \left\langle \psi \right\rangle_{\eta} \right\} = \frac{1}{V_{\infty}} \int_{V_{\eta}} \left\langle \psi \right\rangle_{\eta} dV$$

$$\left\{ \langle \psi \rangle_{\eta} \right\}^{\eta} = \frac{1}{V_{\eta}} \int_{V_{\eta}} \langle \psi \rangle_{\eta} \, dV \quad \text{Moyenne intrinsèque}$$

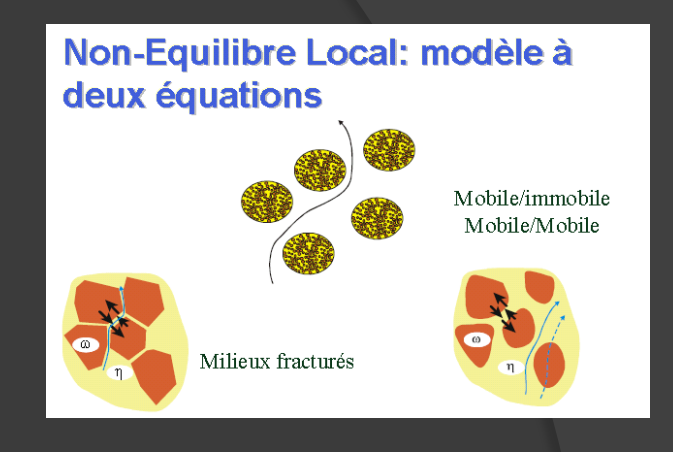
Moyenne

$$\left\{ \langle \psi \rangle_{\eta} \right\} = \varphi_{\eta} \left\{ \langle \psi \rangle_{\eta} \right\}^{\eta}$$

$$\left\{ \nabla \left\langle \psi \right\rangle_{\eta} \right\} = \nabla \left\{ \left\langle \psi \right\rangle_{\eta} \right\} + \frac{1}{V_{\infty}} \int_{A_{\eta\omega}} \mathbf{n}_{\eta\omega} \left\langle \psi \right\rangle_{\eta} dS
\left\{ \nabla \cdot \left\langle \psi \right\rangle_{\eta} \right\} = \nabla \cdot \left\{ \left\langle \psi \right\rangle_{\eta} \right\} + \frac{1}{V_{\infty}} \int_{A_{\eta\omega}} \mathbf{n}_{\eta\omega} \cdot \left\langle \psi \right\rangle_{\eta} dS
\left\{ \frac{\partial \left\langle \psi \right\rangle_{\eta}}{\partial t} \right\} = \frac{\partial \left\{ \left\langle \psi \right\rangle_{\eta} \right\}}{\partial t}$$

Theor. Prise de moyenne

III-3 Limitations

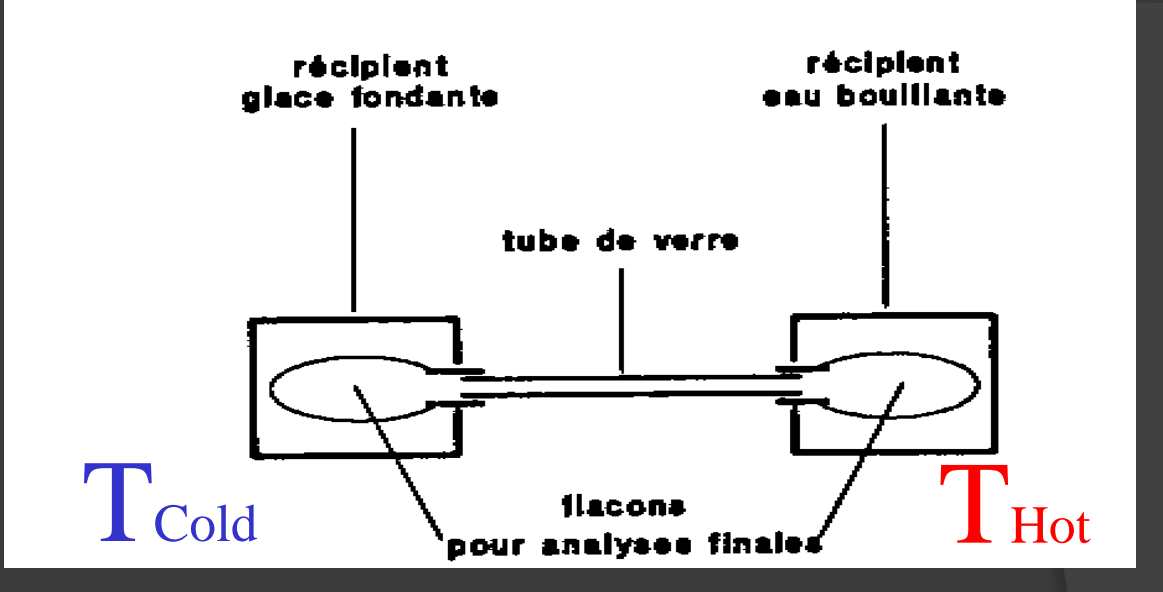


Cause → Effet (même type) Force → Flux

Force	chaleur	eau	soluté	vapeur
Flux	(Température)	(Pression)	(Concentration)	(Pression)
chaleur	Loi de Fourrier	Filtration thermique	Effet-Duffour	
eau	Thermo-osmose	Loi de Darcy	Osmose chimique	
soluté	Effet Soret	Ultrafiltration	Loi de Fick	
vapeur	Thermo-diffusion			Loi de Fick

Effet Soret Définition





Ch. Soret, Etat d'équilibre des dissolutions dont deux parties sont portées à des températures différentes Archives des Sciences Physiques et Naturelles de Genève] <u>,t.II</u>, p. 48-61.(1879)





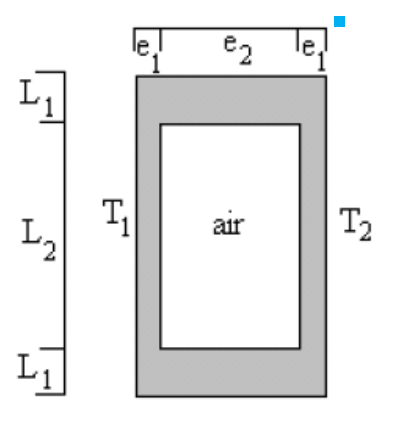
Separating process

Fick Soret
$$j = -\rho \left(D \frac{\partial C}{\partial x} + D_T C (1 - C) \frac{\partial T}{\partial x} \right)$$

$$\varepsilon \frac{\partial C^*}{\partial t} + V^* \cdot \nabla C^* = \nabla \cdot \left(D_C \nabla C^* + \left(D_T \nabla T^* \right) \right)$$

IVModèles de transfert au sein du M.P.

IV- 1 Coefficient équivalent Limitations



La dimension transversale de la brique est égale à *H*. Dans la cavité d'air, coexistent, en parallèle, des échanges par rayonnement et par conduction si on considère que les dimensions sont suffisamment faibles pour empêcher les mouvements convectifs.

La résistance pour la cavité d'air est égale à :

$$\frac{1}{R_{abr}} = (h_r + \frac{A_{abr}}{e_2}) L_2 H$$

La résistance pour la partie centrale sera :

$$R(L_2) = R_{ab} + \frac{2e_1}{\lambda_b L_2 H} = \frac{1}{L_2 H} (\frac{e_2}{h_r e_2 + \lambda_{ab}} + \frac{2e_1}{\lambda_b})$$

La résistance pour les " parties pleines " est égale à : $R(2L_1) = \frac{2e_1 + e_2}{\lambda_1 2L_1 H}$

Ces deux résistances sont en parallèle si bien que la résistance globale de la brique sera :

$$\frac{1}{R_b} = \frac{1}{R(L_2)} + \frac{1}{R(2L_1)} = \frac{\lambda_{eq} (2L_1 + L_2)H}{2e_1 + e_2}$$
 en introduisant une conductivité équivalente λ_{eq} pour le matériau composite considéré alors comme un matériau conductif homogéne.

Application numérique :

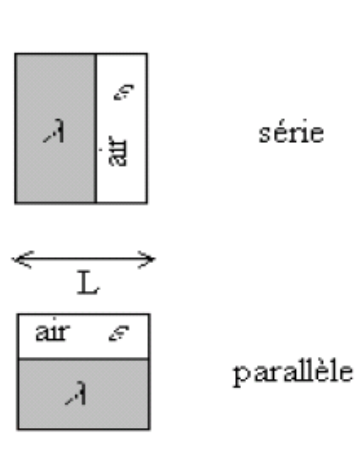
$$\lambda_{ab} = 0.025 \text{ wm}^{-1} K^{-1}$$
; $\lambda_b = 1.25 \text{ wm}^{-1} K^{-1}$; $h_r = 6 \text{ wm}^{-2} K^{-1}$

$$L_1=1\ cm$$
 ; $L_2=8\ cm$; $e_1=1\ cm$; $e_2=3\ cm$

$$R(L_2) = 2.029 / H$$
; $R(2L_1) = 2 / H$; $\lambda_{eq} \approx 0.5 \text{ w.m}^{-1} \cdot \text{K}^{-1}$

Série - Parallèle

Exemple 2 : milieu poreux



Les transferts série ou parallèle sont mal définis.

On appelle \mathcal{E} la porosité c'est à dire la proportion en volume des cavités.

Pour le schéma série,

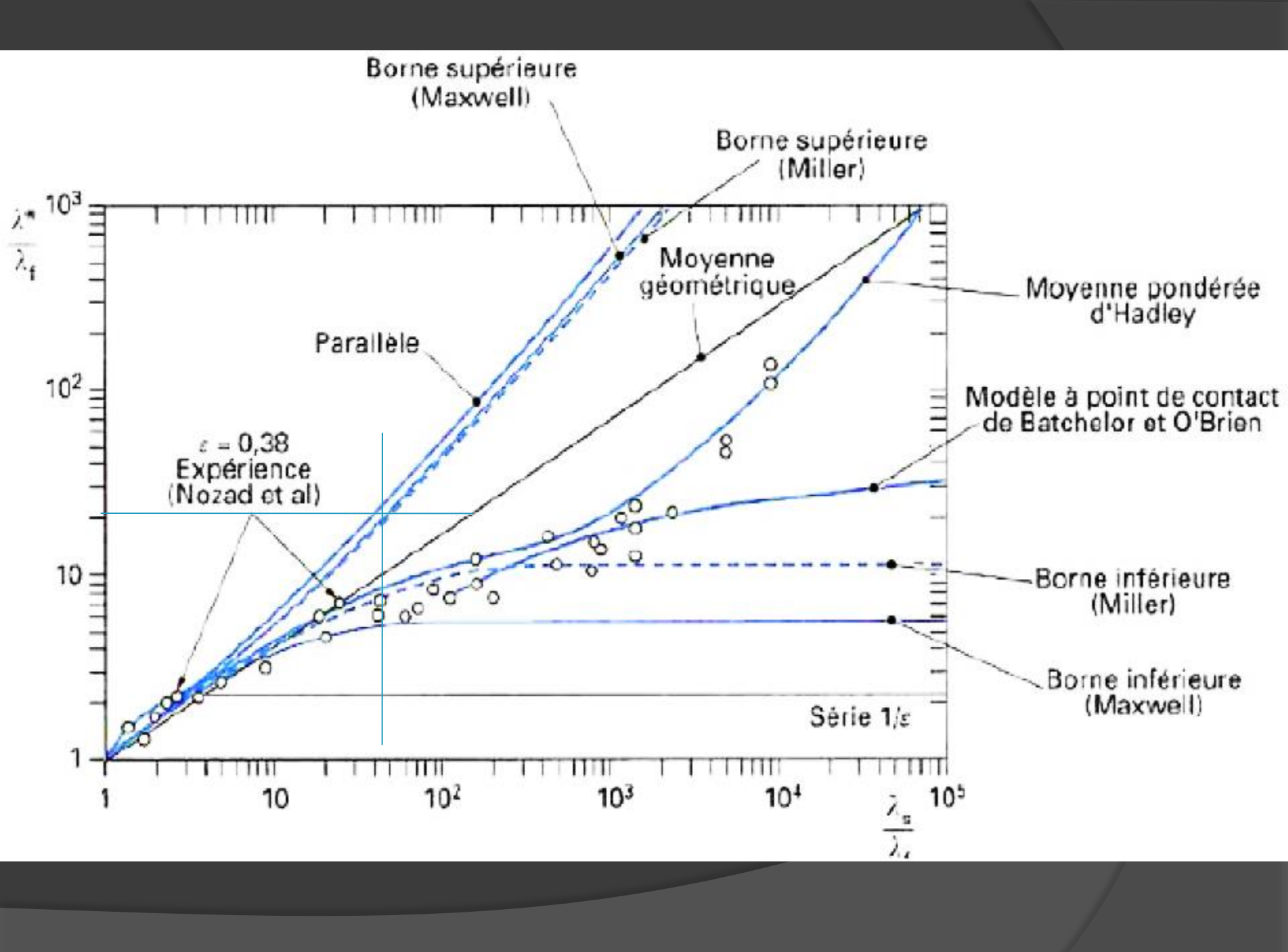
$$\frac{\varepsilon}{Lh_{r}\;\varepsilon^{+}\;\lambda_{dir}}+\frac{(1-\;\varepsilon)}{\lambda}=\frac{1}{\lambda_{erie}}$$

Pour le schéma parallèle,

$$(Lh_r + \lambda_{pir}) \mathcal{E} + \lambda(1 - \mathcal{E}) = \lambda_{parallele}$$

Généralement, on considère qu'il y a autant de schémas séries

et parallèles
$$\lambda_{eq} = \frac{\lambda_{se ne} + \lambda_{parallèle}}{2}$$



La valeur moyenne est fortement dependante de la structure!

$$\gamma_{\beta} = 1$$
 dans les pores
$$\gamma_{\beta} = 0$$
 dans la phase solide

$$\left\{ \left\langle \psi \right\rangle_{\eta} \right\} = \frac{1}{V_{\infty}} \int_{V_{\eta}} \left\langle \psi \right\rangle_{\eta} dV$$

$$\left\{ \left\langle \psi \right\rangle_{\eta} \right\}^{\eta} = \frac{1}{V_{\eta}} \int_{V_{\eta}} \left\langle \psi \right\rangle_{\eta} dV \quad \text{Moyenne intrinsèque}$$

Moyenne

$$\begin{split} \left\{ \nabla \left\langle \psi \right\rangle_{\eta} \right\} &= \nabla \left\{ \left\langle \psi \right\rangle_{\eta} \right\} + \frac{1}{V_{\infty}} \int_{A_{\eta\omega}} \mathbf{n}_{\eta\omega} \left\langle \psi \right\rangle_{\eta} dS \\ \left\{ \nabla \cdot \left\langle \psi \right\rangle_{\eta} \right\} &= \nabla \cdot \left\{ \left\langle \psi \right\rangle_{\eta} \right\} + \frac{1}{V_{\infty}} \int_{A_{\eta\omega}} \mathbf{n}_{\eta\omega} \cdot \left\langle \psi \right\rangle_{\eta} dS \\ \left\{ \frac{\partial \left\langle \psi \right\rangle_{\eta}}{\partial t} \right\} &= \frac{\partial \left\{ \left\langle \psi \right\rangle_{\eta} \right\}}{\partial t} \end{split}$$

Theor. Prise de moyenne

Modèle	Infos	Expression
Maxwell (borne inf)	Milieu : sphères dispersées dans phase continue ε~1 (sans contact)	$\frac{\lambda_{eq}}{\lambda_f} = \frac{2\varepsilon + (3-\varepsilon)\frac{\lambda_s}{\lambda_f}}{(3-\varepsilon) + \varepsilon\frac{\lambda_s}{\lambda_f}}$
Batchelor et O'Brien (avec point contact)	Cas point de contacte $\frac{\lambda_s}{\lambda_f} > 100$ Constante ajustée par experience	$\frac{\lambda_{eq}}{\lambda_f} = 4 \ln \left(\frac{\lambda_s}{\lambda_f} \right) - 11$
Parallele		$\frac{\lambda_{eq}}{\lambda_f} = \varepsilon + (1 - \varepsilon) \left(\frac{\lambda_s}{\lambda_f} \right)$
Série		$rac{\lambda_{eq}}{\lambda_f} = rac{\left(\lambda_s/\lambda_f ight)}{arepsilon\left(\lambda_s/\lambda_f ight) + \left(1-arepsilon ight)}$
Géométrique		$\left(\lambda_{eq}/\lambda_f\right) = \left(\lambda_s/\lambda_f\right)^{(1-arepsilon)}$
Maxwell (Borne sup.)	Inclusion fluide dans matrice solide continue	$\frac{\lambda_{eq}}{\lambda_f} = \frac{2\left(\frac{\lambda_s}{\lambda_f}\right)^2 (1-\varepsilon) + (1+2\varepsilon) \frac{\lambda_s}{\lambda_f}}{(2+\varepsilon) \frac{\lambda_s}{\lambda_f} + (1-\varepsilon)}$

Modèle	Infos		Ехр	ressic	on			
Hadley (moyenne pondérée)	Structure périod Maxwell (borne fonction calage	sup.) +		$\frac{\lambda_{eq}}{\lambda_f} = (1 - 8 + 0.1\varepsilon)$		$(2+\epsilon)(\lambda_s/2)$	$\frac{-\varepsilon f_0) \left(\lambda_s/\lambda_f\right)}{+\left(\lambda_s/\lambda_f\right)\varepsilon (1-\frac{\lambda_f}{\varepsilon})^2 + (1+2\varepsilon)}$ $\varepsilon) \left(\lambda_s/\lambda_f\right) + 1-\frac{\varepsilon}{\varepsilon}$	
				$\log(\alpha_0) = -3.154(\varepsilon -$	-4.898ε $0.0827)$	avec avec	$0 \le \varepsilon \le 0.0$ $0.0827 \le \varepsilon \le$	
		$\log(\alpha_0) = -$		\	,		$0.298 \le \varepsilon \le 0$	

Exemple de matériaux à forte porosité (mousse métallique)

Al	Ś	Ni Ni	$N_{\rm p}$		1
é	20			V	X
					1

Matrice	AM	AJ	AJ-SIC	Al	INI
Cellules	Fermées	Fermées	Fermées	Ouvertes	Ouvertes
Masse volumique					
(Mg/m³)	0.2 - 0.25	0.3 - 1.0	0.07 - 0.56	0.16 - 0.25	0.26 - 0.37
Module de Young (GPa)					
	0.4 - 1.0	1.7 - 12	0.02 - 2.0	0.06 - 0.3	0.4 - 1.0
Limite de cisaillement					
(GPa)	0.3 - 0.35	0.6 - 5.2	0.001 - 1.0	0.02 - 0.1	0.17 - 0.37
Résistance à la					
compression (MPa)	1.3 - 1.7	1.9 - 14.0	0.04 - 7.0	0.9 - 3.0	0.6 - 1.1
Résistance à la traction					
(MPa)	1.6 - 1.9	2.2 - 30	0.05 - 8.5	1.9 - 3.5	1.0 - 2.4
Point de fusion					
(K)	910 - 920	840 - 850	830 - 910	830 - 920	1700 - 1720
Température max de					
service (K)	400 - 420	400 - 430	500 - 530	380 - 420	550 - 650
Température minimale					
de service (K)	1-2	1-2	1 - 2	1-2	1-2
Chaleur spécifique					
(J/kg.K)	830 - 870	910 - 920	830 - 870	850 - 950	450 - 460
Conductivité thermique					
(W/m.K)	3.5 - 4.5	3.0 - 35	0.3 - 10	6.0 - 11	0.2 - 0.3

Conductivité électrique

Il existe une forte analogie entre les lois de la mécanique des fluides et celles de la conduction électrique.

En effet, la différence de pression dans une conduite est l'analogue d'une différence de potentiel aux bornes d'un conducteur, tandis que le débit de fluide est l'analogue du courant électrique.

Dans les deux cas, les relations entre différence de pression/débit et différence de potentiel/courant dépendent de la géométrie (forme et longueur) de la conduite ou du conducteur.

Si le milieu poreux est imbibé d'un fluide conducteur caractérisé par sa viscosité et sa conductivité, on est en présence de deux types de transport : le transport de fluide par la différence de pression, et le transport de charges électriques si une différence de potentiel est appliquée de part et d'autre du poreux.

Dans les deux cas, la géométrie interne du milieu poreux joue un rôle important. La mesure de la conductivité équivalente du milieu poreux apporte donc une information supplémentaire sur la structure.

MODÉLISATION DÉMARCHE Cas réel (solide – fluide) Equation Equation Couplage solide solide Couplage simple exacte Equation Equation Propriété fluide fluide équivalent Cas hétérogène (2 équations) Cas homogène (1 équation) structure simplifiée <u>DNS</u> 2 moyennes + interaction 1 moyenne des 2 S'afranchir de la complexité géometrique **Homogenisation**

III- 3 Modèles équivalent de transfert au sein du M.P.